

**МЕТАБОЛИК СИНДРОМ ВА ОСТЕОПОРОЗ МОДЕЛЛАШТИРИЛГАН ТАЖРИБА
ҲАЙВОНЛАРИДА МЕТФОРМИН+ЦИНК+ОМЕГАЗ КОМПЛЕКСИНИ СУЯК
ДЕСТРУКЦИЯСИГА ТАЪСИРИНИ МСКТ ЁРДАМИДА БАХОЛАШ**

<https://doi.org/10.5281/zenodo.13896048>

Мавлонов Анвар Ахмадович

*Бухоро Давлат Тиббиёт Институти,
Клиник фармакология кафедраси доценти.*

Бобоева Раъно Рахимовна

Бухоро Давлат Тиббиёт Институти, Офтальмология кафедраси доценти

Аннотация: Тажрибада метаболик синдром ва остеопароз моделлаширилган эркак ва урғочи жинсли қуёнларда метформин+цинк+омегаз комплексини қўллаб, унинг суяк деструкциясига таъсири баҳоланди. Бу кўрсаткичлар лаборатория тахлиллар ва МСКТ натижаларига асосланниб тахлил қилинди ва Хаунсфилд шкаласи бўйича баҳоланди. Метформин+цинк+омегаз препаратини амалиётда метаболик синдром ва суяк деструктив ўзгаришларни патогенетик даволаш воситасида тавсия қилиш мумкин.

Калит сўзлар: метаболик синдром, остеопароз, МСКТ.

Abstract: *The experiment evaluated the effect of metformin+zinc+omega3 complex on bone destruction in male and female rabbits modeled with metabolic syndrome and osteoporosis. These indicators were analyzed based on the results of laboratory analyzes and MSKT and evaluated according to the Hounsfield scale. Metformin+zinc+omega3 drug can be recommended in practice as a means of pathogenetic treatment of metabolic syndrome and bone destructive changes.*

Key words: *metabolic syndrome, osteoporosis, MSKT.*

Аннотация: В эксперименте оценивали влияние комплекса метформин+цинк+омегаз на деструкцию костей у кроликов-самцов и самок на модели метаболического синдрома и остеопороза. Эти показатели анализировались по результатам лабораторных исследований и МСКТ и оценивались по шкале Хаунсфилда. Препарат метформин+цинк+омегаз может быть рекомендован на практике как средство патогенетического лечения метаболического синдрома и деструктивных изменений костной ткани.

Ключевые слова: метаболический синдром, остеопороз, МСКТ.

ДОЛЗАРБЛИГИ

Метаболик синдром бутун дунё бўйлаб тиббий ва соғлиқни сақлаш мұаммосига айланиб бормоқда, чунки унинг тарқалиш даражаси йилдан- йилга ортиб бормоқда. Метаболик синдром жуда кенг тарқалган клиник күриниш бўлиб, ривожланган

мамлакатларда ўртача ҳар бешинчи катталарда учрайди. Синдром ривожланишининг асосий омиллари қорин бўшлиғидаги семириш ва инсулин қаршилиги ҳисобланади. Семизлик ва метаболик синдром (МС) аҳоли саломатлиги ва клиник амалиёт учун тобора кучайиб бораётган муаммога айланиб бормоқда, чунки ҳаракатсиз турмуш тарзининг кучайиши, ёғ ва шакарга бой қайта ишланган озиқ-овқат маҳсулотларидан ортиқча калория истеъмол қилиш туфайли кенгаймоқда. МС нинг бир нечта таърифлари мавжуд, аммо уларнинг аксарияти уни қорин бўшлиғидаги семириш, юқори зичлиқдаги липопротеинлар, холестерин, триглицеридларнинг кўтарилиши, гипертензия, каби ҳолатлардир. МС тарқалишининг ортиб бораётганига қарамай, унинг патофизиологияси ва касаллик билан боғлиқлигини тушуниш ҳали ҳам чекланган. Семириб кетиш нафақат вазн ортишига олиб келадиган, балки сурункали паст даражадаги яллиғланишни келтириб чиқарадиган катта миқдордаги ёғ тўпланиши сифатида намоён бўлади, бу эса қон томир дисфункцияси ва метаболик аномалликларни қўзғатади ва натижада юрак-қон томир касалликлари ва 2-тоифа диабетга олиб келади. Семизликдан келиб чиқадиган бу оқибатлар ёғ тўқималарининг ҳаддан ташқари кенгайиши ва нотўғри қайта тузилиши билан боғлиқ. Бугунги кунга келиб, метаболик синдром ҳолатида, юқори ёғли ва юқори ёғсиз диетадан фойдаланган ҳолда, бир нечта диетага асосланган қуёն моделлари ишлатилган ва энг мұхими, метаболик синдромнинг турли таркибий қисмларининг тавсифи батафсил баён этилмаган. Қуёнларда метаболик синдромнинг диетага асосланган экспериментал моделини ишлаб чиқиш ва тавсифлаш, бу кейинчалик юрак-қон томир тизимини қайта қуриш ва аритмогенезни ўрганишга имкон беради. Ушбу тадқиқот ўзгаришларни *in vivo* баҳолаш МСКТ ёрдамида қуён остеопороз моделида суяқ қатламининг сигнал аномалликлари, менискал ўзгаришларни, бойлам ўзгаришларни ва остеофитларни аниқлашга имкон берди.

Ушбу тадқиқотнинг мақсади метаболик синдром ва остеопороз моделлаштирилган экспериментал эркак ва урғочи жинсли қуён моделида метформин+цинк+омега3 комплексини суяқ деструкцияларга таъсирини ўрганиш.

МАТЕРИАЛЛАР ВА УСУЛЛАР:

Экспериментал тадқиқотлар оғирлиги 2000-2600 гр, ёши (10-14) ойлик бўлган 36 та эркак ва урғочи қуёнларда ўтказилди. Ҳайвонлар стандарт вивариум шароитида таббий 12 соатлик ёруғлик-қоронғу цикли, $20\pm20^{\circ}$ ҳаво ҳароратида сақланган. Ҳар бир групга қуийидаги тарзда 6 тадан эркак ва урғочи қуён киритилган:

1. Назорат груҳи - метаболик синдром ва остеопороз моделлаштирилган (№1-6) 6 эркак қуёнлар.
2. Иккинчи груҳ метаболик синдром ва остеопороз моделлаштирилган (№7-12) 6 эркак қуёнлар + метформин 35 кун давомида 120 мг/кг дозада оғиз орқали қабул қилди.

3.Учинчи гурух метаболик синдром ва остеопороз моделлаштирилган (№13-18) 6 эркак қуёнлар + метформин+цинк+омега3 комплекси 35 кун давомида оғиз орқали қабул қилди.

4.Тўртинчи назорат гурухи метаболик синдром ва остеопороз моделлаштирилган (№19-24) 6 урғочи қуёнлар.

5.Бешинчи гурух метаболик синдром ва остеопороз моделлаштирилган (№25-30) 6 урғочи қуёнлар + метформин 35 кун давомида 120 мг/кг дозада оғиз орқали қабул қилди.

6.Олтинчи гурух метаболик синдром ва остеопороз моделлаштирилган (№31-36) 6 урғочи қуёнлар + метформин+цинк+омега 3 комплекси 35 кун давомида оғиз орқали қабул қилди.

Дори -дармонларни охирги қўллашдан 24 соат ўтгач, ҳайвонларнинг барча гурухларида систолик ва диастолик босим қўрсаткичлари аниқланди, қонда биохимиявий текширувлар натижалари ўрганилди. Барча қуёнларда суяк тўқималари аксиал, проксимал (фронтал), сагиттал кесмаларда МСКТ текшируви ўтказилди. Ўтказувчанлик параметри ва суяк минерал зичлиги ўртасидаги корреляцияни аниқлаш учун Пеарсон корреляция коеффициенти ўтказилди. Такрорий ўлчовлар ҳар бир гурухда вақт ўтиши билан суяк тўқимасидаги ўзгаришларини ва турли вақт нуқталарида остеопаротик қуён моделида суяк компакт ва ғовак тўқималарининг Хаунсфилд шкаласи бўйича зичлик параметрлари таҳлил қилинди.

Мухокама ва натижалар

Жадвал 1. Қуёнларнинг тана вазнини динамикада кузатув (г)

Гурух лар	Кунлар давомида кузатув										Кунда	Тана	Бошла	
			5	2	9	6	2	9	6	5	(1-60 кунлар)	(1-60 кунлар)	нғортиши, %	
Метаболик синдром + остеопороз (M+m)														
Эркак қуён	59	653,	705,	751,	798,	846,	896,	92	976,	9	8	5	0,7*	2
M	8,3	3	0	7	3	7	7	938,3	7	,9	38,3			

M	9,3	9,2	9,2	9,9	8,1	9,1	8,4	1,5	5	5,5	,2	0	3,02	1	
Уроочи қуён	36	413,	451,	488,	535,	576,	620,	2	690,	7	7	4	9,4**	1	
M	3,3	3	7	3	0	7	0	653,3	0	,6	57,5				
M	3,0	3,7	2,3	1,8	2,8	4,9	8,1	9	9	7,9	,1	,6	6		

Изоҳ: p<0,05*, p<0,01, p<0,001***.**

Кузатишнинг 60-кунида қуёнларнинг назорат гурӯҳида тана вазнининг ортиши таҳминан 7% ни ташкил этди. Тана вазнининг энг катта ўсиши - 20,7 (эркаклар) ва 19,36 (аёллар)% - остеопороз билан боғлиқ метаболик синдроми бўлган гурӯҳ томонидан эришилди.

Метаболик синдром ва остеопароз билан касалланган қуёнларда гормонал текширувлар натижалари

Остеокальцин:

1. Гормонал текширувлар

Кўрсаткичлар	Натижа	Ед/ўзг	Маълумот қийматлари
№1 Остеокальцин	1,3	нг/мл	2,0 - 22,0
№2 Остеокальцин	0,7	нг/мл	2,0 - 22,0
№3 Остеокальцин	0,1	нг/мл	2,0 - 22,0
№4 Остеокальцин	5,8	нг/мл	2,0 - 22,0
№5 Остеокальцин	2,2	нг/мл	2,0 - 22,0
№6 Остеокальцин	10,0	нг/мл	2,0 - 22,0
№7 Остеокальцин	31,1	нг/мл	2,0 - 22,0
№8 Остеокальцин	0,9	нг/мл	2,0 - 22,0
№9 Остеокальцин	26,3	нг/мл	2,0 - 22,0
№10	1,1	нг/мл	2,0 - 22,0

Остеокальцин

2. I типдаги коллаген С-телопептиidlар

Күрсаткичлар	Натыжа	Ед/ўзг	Маълумот қийматлари
№1 I типдаги коллаген С-телопептиidlар	1,0 62	нг/м л	< 0,537
№2 I типдаги коллаген С-телопептиidlар	0.7 01	нг/м л	< 0,537
№3 I типдаги коллаген С-телопептиidlар	1,3 31	нг/м л	< 0,537
№4 I типдаги коллаген С-телопептиidlар	0.2 20	нг/м л	< 0,537
№5 I типдаги коллаген С-телопептиidlар	0.0 01	нг/м л	< 0,537
№6 I типдаги коллаген С-телопептиidlар	0.3 52	нг/м л	< 0,537
№7 I типдаги коллаген С-телопептиidlар	0.9 98	нг/м л	< 0,537
№8 I типдаги коллаген С-телопептиidlар	1,7 35	нг/м л	< 0,537
№9 I типдаги коллаген С-телопептиidlар	0,1 10	нг/м л	< 0,537
№10 I типдаги коллаген С- телопептиidlар	1,0 04	нг/м л	< 0,537

3. Олигомер матриксли тоғай түқимаси оқсили

Күрсаткичлар	На тижа	Ед /ўзг	Маълумо т қийматлари
№1 Олигомер матриксли тоғай түқимаси оқсили	0,8 46	нг/ мл	<1000 нг/мл
№2 Олигомер матриксли тоғай түқимаси оқсили	17 77	нг/ мл	<1000 нг/мл
№3 Олигомер матриксли тоғай түқимаси оқсили	0,0 75	нг/ мл	<1000 нг/мл
№4 Олигомер матриксли тоғай түқимаси оқсили	0.2 20	нг/ мл	<1000 нг/мл
№5 Олигомер матриксли тоғай түқимаси оқсили	94 7	нг/ мл	<1000 нг/мл
№6 Олигомер матриксли тоғай түқимаси	13	нг/	<1000

оқсили	96	мл	нг/мл
№7 Олигомер матриксли тоғай түқимаси оқсили	66 6	нг/ мл	<1000 нг/мл
№8 Олигомер матриксли тоғай түқимаси оқсили	21 74	нг/ мл	<1000 нг/мл
№9 Олигомер матриксли тоғай түқимаси оқсили	0,6 41	нг/ мл	<1000 нг/мл
№10 Олигомер матриксли тоғай түқимаси оқсили	1062	нг/ мл	<1000 нг/мл

4. Гиалурон кислота

Күрсаткичлар	Натыжа	Ед/үзг	Маълумот қиймати
№1 Гиалурон кислота	11,0 л	нг/м л	4.94-400 нг/мл
№2 Гиалурон кислота	630, 0	нг/м л	4.94-400 нг/мл
№3 Гиалурон кислота	123 7	нг/м л	4.94-400 нг/мл
№4 Гиалурон кислота	975, 0	нг/м л	4.94-400 нг/мл
№5 Гиалурон кислота	51,0 л	нг/м л	4.94-400 нг/мл
№6 Гиалурон кислота	139 6	нг/м л	4.94-400 нг/мл
№7 Гиалурон кислота	818	нг/м л	4.94-400 нг/мл
№8 Гиалурон кислота	195 4	нг/м л	4.94-400 нг/мл
№9 Гиалурон кислота	0,01 1	нг/м л	4.94-400 нг/мл
№10 Гиалурон кислота	220	нг/м л	4.94-400 нг/мл

5. Aggrecan (AGC)

Күрсаткичлар	Натыжа	Ед/үзг	Маълумот қийматлари
№1 Aggrecan (AGC)	0,01 л	нг/м л	0.625-40 нг/мл
№2 Aggrecan (AGC)	33	нг/м л	0.625-40 нг/мл

№3 Aggrecan (AGC)	0,14 4	нг/м л	0.625-40 нг/мл
№4 Aggrecan (AGC)	83 л	нг/м нг/мл	0.625-40 нг/мл
№5 Aggrecan (AGC)	0,79 4	нг/м л	0.625-40 нг/мл
№6 Aggrecan (AGC)	0,37 3	нг/м л	0.625-40 нг/мл
№7 Aggrecan (AGC)	98 л	нг/м нг/мл	0.625-40 нг/мл
№8 Aggrecan (AGC)	21 л	нг/м нг/мл	0.625-40 нг/мл
№9 Aggrecan (AGC)	0,46 3	нг/м л	0.625-40 нг/мл

Даволаш натижаларидан сүнг Хаунсфилд шкаласи бўйича эркак ва урғочи жинсли қуёнларда суяк тўқималаридағи зичлик параметрларини МСКТ ёрдамида баҳолаш

Экспериментал тадқиқот натижалари шуни кўрсатдики, ўтказилган тажрибада даво қабул қилган эркак ва урғочи жинсли қуёнларлардан иборат барча грухларда текширувлар Хаунсфилд шкаласи бўйича ўрганилди. Зичлик параметрлари суяк тўқималари аксиал, проксимал(фронтал), сагиттал кесмаларда МСКТ текшируви ўтказилди ва натижалар баҳоланди.

МЕТФОРМИН ёрдамида даволанган эркак жинсли қуёнларни Хаунсфилд шкаласи бўйича суяк тўқималаридағи зичлик параметрларини МСКТ ёрдамида баҳолаш натижалари

	№2 Қуён (эркак) соғлом касал даволанган			№5 Қуён (эркак) соғлом касал даволанган			№7 Қуён (эркак) соғлом касал даволанган		
	Прок	+	+	+	+	+	+	+	+
	эпиф.соха	342	271	344	320	221	315	330	180
	метаф.соха	321	284	314	314	106	300	345	84
Прокс.ўту в.соха	+	+	+	+	+	+	+	+	+
332	281	285	322	160	310	325	78	295	+
Марказ.со	+	+	+	+	+	+	+	+	+

xa	355	301	332	315	330	330	313	175	310
Дистал үтүвчи соха	+ 344	+ 271	+ 371	+ 321	+ 151	+ 315	+ 319	+ 209	+ 330
Дистал. Метф.соха	+ 315	+ 45	+ 237	+ 329	+ 31	+ 298	+ 312	+ 9	+ 258
Юрак	+ 81	+ 55	+ 76	+ 75	+ 43	+ 45	+ 58	+ 41	+ 51
Үпка	- 855	- 740	- 753	- 892	- 805	- 800	- 868	- 770	- 850
Жигар	+ 86	+ 46	+ 74	+ 88	+ 66	+ 75	+ 88	+ 55	+ 75
Буйрак	+ 46	+ 31	+ 39	+ 48	+ 38	+ 42	+ 50	+ 41	+ 50

МЕТФОРМИН+ЦИНК+ОМЕГАЗ ёрдамида даволанган эркак жинсли қүёnlарни Хаунсфилд шкаласи бүйича сүяк түкималаридағи зичлик параметрларини МСКТ ёрдамида баҳолаш натижалари

	№1 (эркак) соғлом касал даволанган				№4 (эркак) соғлом касал даволанган				№8 (эркак) соғлом касал даволанган			
	Күён		Күён		Күён		Күён		Күён		Күён	
	касал	даволанган	касал	даволанган	касал	даволанган	касал	даволанган	касал	даволанган	касал	даволанган
Прок эпиф.соха	+ 340	+ 278	+ 344	+ 322	+ 225	+ 510	+ 331	+ 188	+ 547	+ +	+ +	+ +
Прок метаф.соха	+ 324	+ 286	+ 315	+ 310	+ 103	+ 233	+ 341	+ 87	+ 188	+ +	+ +	+ +
Прокс.ўту в.соха	+ 334	+ 285	+ 288	+ 325	+ 161	+ 171	+ 320	+ 75	+ 166	+ +	+ +	+ +
Марказ.co xa	+ 350	+ 300	+ 335	+ 317	+ 332	+ 344	+ 315	+ 178	+ 359	+ +	+ +	+ +
Дистал үтүвчи соха	+ 347	+ 272	+ 373	+ 328	+ 157	+ 160	+ 317	+ 203	+ 74	+ 2	+ +	+ +
Дистал.	+ +	+ +	+ +	+ +	+ +	+ +	+ +	+ +	+ +	+ +	+ +	+ +

Метф.соха	302	48	245	332	35	393	301	7	282
Юрак	+	+	+	+	+	+	+	+	+
	80	58	78	76	42	46	59	40	56
Үпка	-	-	-	-	-	-	-	-	-
	850	741	760	890	807	777	862	771	790
Жигар	+	+	+	+	+	+	+	+	+
	85	47	78	89	64	73	89	53	88
Буйрак	+	+	+	+	+	+	+	+	+
	45	30	41	49	38	44	51	42	50

МЕТФОРМИН ёрдамида даволанган урғочи жинсли қүёнларни Хаунсфилд шкаласи бўйича суяк тўқималаридаги зичлик параметрларини МСКТ ёрдамида баҳолаш натижалари

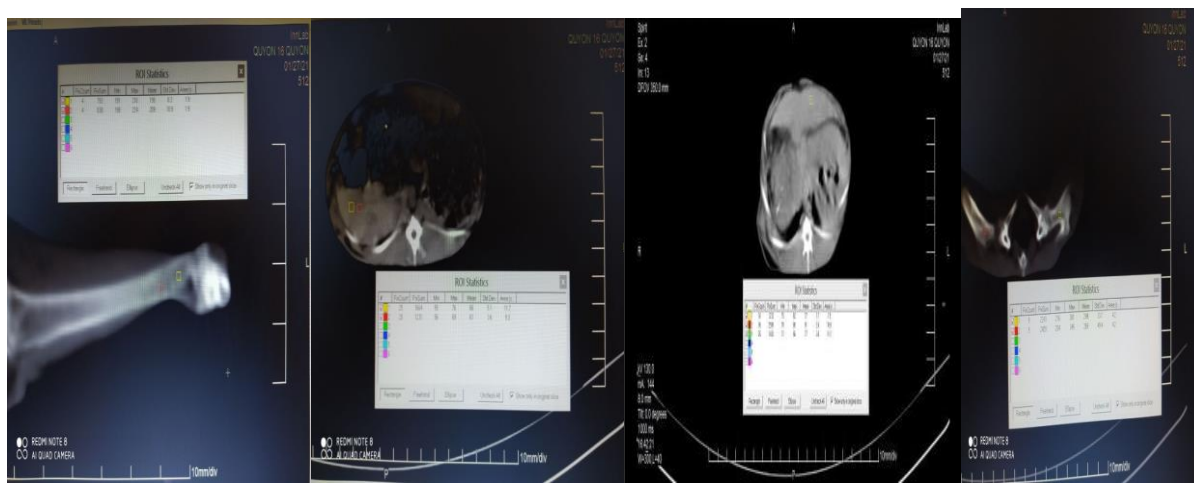
	№10 Қүён (урғочи) соғлом касал даволанган				№11 Қүён (урғочи) соғлом даволанган				№15 Қүён урғочи) соғлом касал даволанган					
	Прок эпиф.соха	Прок метаф.соха	Прокс.ўту в.соха	Марказ.со ха	Дистал ўтувчи соха	Дистал. Метф.соха	Юрак	Прок эпиф.соха	Прок метаф.соха	Прокс.ўту в.соха	Марказ.со ха	Дистал ўтувчи соха	Дистал. Метф.соха	Юрак
+	+	+	+	+	+	+	+	+	+	+	+	+	+	+
343	291	560	343	200	340	346	330	343	305	92	174	305	255	260
+	+	+	+	+	+	+	+	+	+	+	+	+	+	+
331	146	320	305	92	174	305	255	319	184	214	296	109	291	191
+	+	+	+	+	+	+	+	+	+	+	+	+	+	+
319	184	214	296	109	240	291	191	361	341	360	371	310	352	310
+	+	+	+	+	+	+	+	+	+	+	+	+	+	+
361	341	360	371	310	251	352	353	306	262	350	301	262	321	209
+	+	+	+	+	+	+	+	+	+	+	+	+	+	+
306	262	350	301	262	300	321	173	288	188	225	277	35	262	28
+	+	+	+	+	+	+	+	+	+	+	+	+	+	+
288	188	225	277	35	275	262	262	68	45	61	65	41	74	26
+	+	+	+	+	+	+	+	+	+	+	+	+	+	+
68	45	61	65	41	74	58	58							

Үпка	-	799	-	691	-	750	-	895	-	817	-	800	-	801	-	720	-	800
Жигар	+		+		+		+		+		+		+		+		+	
Буйрак		78		56		78		77		65		73		84		75		85

МЕТФОРМИН+ЦИНК+ОМЕГА 3 ёрдамида даволанган урғочи жинсли қүёнларни Хаунсфилд шкаласи бүйича сүяк түқималаридағи зичлик параметрларини МСКТ ёрдамида бағолаш натижалари

	№9 Күён (урғочи) соғлом касал даволанган				№12 Күён (урғочи) соғлом касал даволанган				№16 Күён урғочи) соғлом касал даволанган							
	касал		даволанган		касал		даволанган		касал		даволанган					
	Пр ок эпиф.сох а	340	95	+2	564	+	341	+	204	+	345	+	347	+	346	+
Пр ок метаф.с оха	335	43	+1	324	+	308	+	97	+	175	+	300	+	259	+	266
Пр окс.ўтув. соха	318	87	+1	215	+	290	+	106	+	40	2	297	+	193	+	184
Ма рказ.сох а	360	47	+3	469	+	378	+	301	+	257	+	358	+	312	+	352
Дис тал ўтувчи соха	300	66	+2	352	+	308	+	267	+	427	+	325	+	205	+	173
Дис тал. Метф.со ха	285	83	+1	232	+	278	+	32	+	421	+	260	+	29	+	418

Юр ак	65	+	7	+4	63	+	63	+	43	+	75	+	58	+	28	+	623
Ўпк а	798	-		-		-		-		-		-		-		-	
Жи гар	78	+	7	+5	89	+	76	+	61	+	74	+	82	+	77	+	90
Буй рак	48	+	9	+3	41	+	52	+	44	+	45	+	59	+	54	+	55



ХУЛОСА

1. Натижалар ва экспериментал тадқиқотлар шуни кўрсатдики, ўрганилган препарат метформин+цинк+омега 3 комплекси метаболик синдром ва остеопароз моделлаштирилган эркак ва урғочи қуёнларда аниқ ижобий таъсир кўрсатади.

2. Шуни таъкидлаш мумкинки, ўтказилган тажрибаларда эркак ва урғочи жинсли қуёнларлардан иборат барча грухларда текширувлар Хаунсфилд шкаласи бўйича ўрганилганда, остеопороз ва метаболик синдром моделлаштирилган эркак ва аёл жинсли қуёнларда бошқа грухларга нисбатан МСКТ даги ўзгаришлар шуни кўрсатдики, асосан суюк проксимал ва дистал қисмларида, қовурға тоғай қисмларида, юрак ва жигар соҳасида ўзгаришлар кузатилди ва бу тана вазнининг ошиши, гипертензия билан боғлиқлиги аниқланди ва даводан кейин ўрганилган препарат аниқ ижобий самара берди.

ФОЙДАЛАНИЛГАН АДАБИЁТЛАР:

1. Alessi M. C., Juhan-Vague I. PAI-1 and the metabolic syndrome: the links, causes and consequences. Arterioscler Thromb Vasc Biol 2006; 26 (10): 2200–7.

2.Grundy SM, Brewer HB, Cleeman JI, Smith SC, Lenfant C. Defining the metabolic syndrome: report of the National Heart, Lung, and Blood Institute/American Heart Association Conference on Scientific Issues in Definition. . 2004;

3.Schmerbach K., Patzak A. Metabolic syndrome: 2014; 210 :702–704. doi: 10.1111/apha.12230.

4.I. Watt , M. Doherty Plain Radiographic Features of Osteoarthritis KD Brandt , M. Doherty , LS Lohmander (Eds.) , Osteoarthritis , Oxford University Press , New York (2003) , LC Rovati Radiographic Evaluation. 7 (1999), 427-429)

5.M.A. D'Anjou, M. Moreau, E. Troncy, J. Martel. Pelletier, F. Abram, JP Raynauld et al. Osteophytosis, subchondral bone sclerosis, joint effusion and soft tissue in canine experimental stifling osteoarthritis tissue thickening: a comparison

between 1.5 T magnetic resonance imaging and computer radiography. Vet Surg, 37 (2008), 116-177).

6.Van Ginneken B, ter Haar Romeny BM, Viergever MA. Computer-aided diagnosis in chest radiography: a survey. IEEE Trans Med Imaging (2001) 20:1228–41. doi: 10.1109/42.974918).

7.Alberti K.G., Zimmet P., Shaw J., IDF Epidemiology Task Force Consensus Group. The metabolic syndrome — a new worldwide definition // Lancet. — 2005. — Vol. 366, № 9491. — P. 1059–1062

8. Mavlonov Anvar, Saidov Saidamir, Mirsultanov Jakhongir, Boboeva Rano Features of bone destruction in rabbits with experimental metabolic syndrome . The Scientific Temper (2024) Vol. 15 (1): 1941-1948 E-ISSN: 2231-6396, ISSN: 0976-8653

9. Boboeva Rano Rakhimovna. Study of the effect of silibor and rutan on liver biliary function in acute toxic hepatitis caused by paracetamol.Eurasian journal of medical and natural sciences innovative academy research support center. Volume 4 Issue 3, March 2024

10. Boboeva Rano Rakhimovna. Improvement of Methods of Treatment of Retinal Angiopathies of Various Etiologies: Journal of Natural and Medical Education Volume 3, Issue 2, Year 2024.

11.Бобоева Раъно Рахимовна. Совершенствование методов лечения ангиопатий сетчатки различной этиологии. Journal of science in medicine and life.2024.61-65.